# ЭЛЕКТРОННАЯ И ЛАЗЕРНАЯ ТЕХНИКА И ТЕХНОЛОГИИ

УДК 621.03/620.9.91

## МОДЕЛЬ ФОТОГЕНЕРАЦИИ И ПЕРЕНОСА НОСИТЕЛЕЙ В СТРУКТУРЕ a-Si:H/c-Si

М. А. БЫКОВ, А. М. БЫКОВ, С. А. ЗУЕВ, А. С. МАЗИНОВ, Н. И. СЛИПЧЕНКО, Д. А. УНЖАКОВ

В работе приводятся и анализируются результаты численных исследований процессов токопереноса в структурах на основе гетероперехода аморфный — кристаллический кремний.

Results of computational investigation of charge transport processes are adduced and parsed in the structures on the basis of heterogeneous junction amorphous — crystalline silicon.

#### **ВВЕДЕНИЕ**

В настоящее время при создании таких микроэлектронных и оптоэлектронных приборов, как фотоприемники, солнечные элементы, тонкопленочные полевые транзисторы и т.п. широко используются пленки аморфного гидрогенизированного кремния (a-Si:H) и структуры на основе переходов аморфный — кристаллический кремний (a-Si:H — c-Si).

Характеристики таких устройств определяются как свойствами материалов, гетероструктур a-Si:H — c-Si, так и геометрией, в частности, толщиной пленки аморфного кремния.

Однако недостаток глубоких знаний о физике процессов, происходящих в гетероструктурах на основе неупорядоченных полупроводников, включая процессы транспорта и рекомбинации носителей заряда, отсутствие ясных представлений об их свойствах и закономерностях формирования, затрудняет практическую реализацию приборов на их основе.

В большинстве работ, посвященных изучению электрических и фотоэлектрических свойств данного материала, измерения и расчеты проводились на пленках, толщина которых более 1мкм. Технология позволяет создавать приборы на основе пленок меньшей толщины, вплоть до десятков нанометров. Исследования, проведенные в работах [1-5], показали, что величина проводимости и фотопроводимости пленок a-Si:Н зависит от их толщины, причем характер изменения данных параметров при изменении толщины различен для нелегированных и легированных пленок a-Si:H.

**Целью данной работы** является представление численных результатов исследования механизмов переноса и свойств пленок на основе гетероструктур a-Si:H/c-Si с толщиной меньшей 1 мкм, когда толщина пленки соизмерима с диффузионной длиной неравновесных носителей и характерными размерами области приповерхностного искривления зон, обусловленного поверхностными состояниями.

#### МОДЕЛЬ СТРУКТУРЫ

Решение поставленной задачи наиболее целесообразно проводить в кинетическом приближении. При описании процессов переноса носителей в кремнии можно использовать модель, предложенную в [3, 4], дополнив ее представлениями из [6, 7].

При моделировании в рамках кинетического приближения используется общее уравнение Больцмана, которое сводится к кинетическим уравнениям для одночастичных функций распределения.

Поскольку функция распределения всего ансамбля частиц представляет собой произведение функций распределения для отдельных носителей, можно ввести одночастичные функции распределения зарядов i-того сорта  $f_i(\vec{v}, \vec{r}, t)$ , в которых i определяет тип носителя.

Классические одночастичные функции распределения удовлетворяют кинетическому уравнению Больцмана [1, 3]:

$$\frac{\partial f}{\partial t} + \left( \vec{v} \vec{\nabla}_r f \right) + \frac{1}{\hbar} \left( \vec{F}_i \vec{\nabla}_k f \right) = \left( \frac{\partial f}{\partial t} \right)_i, \tag{1}$$

где  $\vec{v}_i$  — скорость носителя заряда,  $\vec{F}_i$  — сила, действующая на него со стороны внешнего электромагнитного поля и остальных носителей заряда;

$$\left(\frac{\partial f}{\partial t}\right)_i$$
 — интеграл столкновений, который описы-

вает процессы рассеяния носителей на неоднородностях кристаллической решетки, то есть взаимодействие носителей с примесями, фононами, парные кулоновские столкновения частиц, процессы рекомбинации и генерации и т. п.

Потенциал электрического поля в активной области прибора удовлетворяет уравнению Пуассона [6]:

$$\Delta \varphi = -\frac{1}{\varepsilon} (\rho(\vec{r}) - \sum_{i} e_{i} \int f_{i} d\vec{v}_{i}), \qquad (2)$$

где  $\rho$  — объемный заряд примесей,  $\sum_i e_i \int f_i d\vec{v}_i$  — объемный заряд, создаваемый свободными носителями тока в активной области прибора.

Граничные условия для функции распределения определяются инжекционными и отражательными свойствами соответствующих границ. Носители всех типов, сталкиваясь с границами электродов, выбывают, на остальных границах их учет проводится путем зеркального отражения. В качестве начальных условий в (1) можно принять равномерное пространственное распределение электронов в областях с однородной плотностью примесей и максвелловское распределение по скоростям вблизи энергии, соответствующей температуры кристалла полупроводника. Граничные условия для уравнения Пуассона — непрерывность производной потенциала на границе раздела.

Таким образом, описание поведения основных носителей в активной области прибора сводится к решению системы уравнений (1-2) с соответствующими граничными условиями [6, 7], которая является сложной системой интегро-дифференциальных уравнений большой размерности. Для решения этой системы воспользуемся методом крупных частиц.

Суть метода крупных частиц заключается в представлении функций, описывающих плотность частиц в фазовом или координатном пространстве через совокупность точек или областей в этом пространстве, называемых макрочастицами. Тогда плотность расположения макрочастиц может интерпретироваться как дискретная аппроксимация функции плотности носителей. Координаты и скорости макрочастиц изменяются во времени в соответствие с законами движения носителей с учетом их рассеяния на неоднородностях кристаллической решетки (c-Si), дефектах (a-Si:H) и процессов генерации и рекомбинации. Эволюция плотности ансамбля макрочастиц в ходе моделирования описывает эволюцию аппроксимируемой плотности.

Функции распределения  $f_i(\vec{v}, \vec{r}, t)$  представляются набором функций состояния, таких как плотность ансамбля носителей, распределение электрического поля и гидродинамических скоростей, которые определяют коллективное состояние ансамбля носителей в структуре.

Для решения системы (1-2) вводится Эйлерова сетка на оси времени и в координатном пространстве, и все функции состояния вычисляются на пространственной сетке в моменты времени, соответствующие узлам временной сетки методом Cloud in the Cell [8].

Изменение функции распределения во времени в уравнении (1) описывается тремя слагаемыми, из которых, первое определяет фазовые переходы на различных рассеивающих центрах, второе — изменение пространственного положения носителей в соответствии со скоростью их движения, а третье — изменение импульса под воздействием внешних сил.

Таким образом, кинетическое уравнение можно свести к решению уравнений движения для носителей заряда в кристалле с учетом механизмов рассеяния [6, 7]:

$$\frac{d\vec{r}}{dt} = \frac{1}{\hbar} \frac{d\varepsilon_k}{d\vec{k}} \text{ if } \frac{d\vec{k}}{dt} = \frac{1}{\hbar} \frac{\vec{F}}{m^*}, \qquad (3)$$

где  $\varepsilon_k$  — энергия носителя,  $\vec{F}$  — действующая на него внешняя сила,  $m^* = m \frac{q^*}{q}$ .

Внешняя сила, действующая на носители заряда — электрическая  $\vec{F} = \nabla_r \phi(\vec{r},t)$ , где  $\phi$  — потенциал электрического поля, определяемый при решении уравнения Пуассона (2).

Рассеяния носителя заряда — это переход из состояния с квазиимпульсом  $\vec{k_i}$  в другое разрешенное состояние с  $\vec{k_f}$ . Вероятность ухода из состояния i дается выражением первого порядка теории возмущений:

$$W = \int \frac{2\pi}{\hbar} \left| \left\langle f \left| H_s \right| i \right\rangle \right|^2 \cdot \delta \left( E_f - E_i \right) dS_f , \qquad (4)$$

где интеграл берется по всем конечным состояниям  $S_f$  ,  $H_s$  — гамильтониан рассеяния, чей вид определяется центром рассеяния.

Тогда, интеграл столкновений в (1) представляется с учетом (4) как [6, 7]:

$$\left(\frac{\partial f_i}{\partial t}\right)_{\!\!s} = \\ = \sum_s \! \int \! \left\{ \!W\!\left(\vec{k}^{\,\prime},\!\vec{k}\right)\! f\!\left(\vec{k}^{\,\prime}\right)\! - \!W\!\left(\vec{k},\!\vec{k}^{\,\prime}\right)\! f\!\left(\vec{k}\right) \!\right\} \! \cdot \! \delta\!\left(E_{k^{\,\prime}} - E_k\right) \! dk^{\,\prime}, \\ \text{где } i - \text{тип рассеяния, } W\!\left(\vec{k}^{\,\prime},\!\vec{k}\right) - \text{вероятность перехода } \vec{k} \to \! \vec{k}^{\,\prime} \, .$$

Вероятность ухода из состояния k  $W_s(\vec{k}) = \sum_{\vec{k}`} W(\vec{k}, \vec{k}`)$  связана с временем между актами рассеяния одного типа:  $\frac{1}{\tau_s(\vec{k})} = W_s(\vec{k})$ . Пос-

кольку процессы рассеяния на различных рассеивающих центрах независимы, время свободного пролета носителя заряда определяется суммой всех времен рассеяния [6, 7]:

$$\frac{1}{\tau} = \sum_{s} \frac{1}{\tau_s} \,. \tag{5}$$

Интегралы столкновений описывают перемещения частиц в фазовом пространстве. Сочетая решение уравнений движения за время свободного пробега носителей между двумя произвольными актами рассеяния, с выбором механизма рассеяния и учетом соответствующего фазового перехода, можно на каждом временном этапе получить функцию распределения всего ансамбля носителей заряда в заданной области.

В процессе моделирования, для макрочастицы определяется время свободного пролета, решаются уравнения движения (3), а затем макрочастицы рассеиваются в соответствии с известными вероятностями механизмов рассеяния. Выбор типа рассеяния определяется его вероятностью методом Монте-Карло, впервые предложенным Куросавой

в 1966 г. [9]. Основные типы рассеяния дополняются механизмами рекомбинации и генерации, со своими вероятностями.

Фигурирующие в уравнениях макроскопические параметры получаются усреднением соответствующих величин.

При применении описанного метода в рамках поставленной задачи, точность решения в значительной степени зависит от того, насколько адекватно представлены акты рассеяния носителей как в кристалле, так и в аморфном кремнии.

Для кристаллического кремния учитывались следующие центры рассеяния:

- 1) рассеяние на деформационном потенциале на LA-фононах (DLA-рассеяние);
- 2) деформационное рассеяние на TA-фононах (DTA-рассеяние);
- 3) упругое рассеяние на LO-фононах (PLOрассеяние);
  - 4) электрон-электронное рассеяние;
  - 5) рассеяние на ионах примесей;
- 6) рассеяние на нейтральных атомах примесей:
  - 7) рассеяние на дислокациях.

Процесс переноса носителей в аморфном кремнии описывается в терминах прыжковой проводимости для неупорядоченной системы с наличием случайного поля хаотически расположенных заряженных точечных центров. Проводимость описывается переходами носителей между различными локализованными состояниями.

Корреляционная функция случайного поля представляется в виде [10]:

$$\varphi(r) = \frac{2\pi n_r e^4}{\varepsilon^2} r_0 \exp\left(-\frac{r}{r_0}\right), \tag{6}$$

где 
$$r_0 = \left(\frac{4\pi n_0 e^2}{\epsilon T}\right) = \alpha^{-1}$$
 — радиус экранирования;

 $n_t$  — концентрация центров; e — заряд электрона;  $\epsilon$  — диэлектрическая проницаемость образца, а  $r = r_1 - r_2$  — расстояние между двумя точками в образце.

Кинетическое уравнение (1) для аморфного кремния в стационарном состоянии можно записать в виде, предложенном в [10], переписав правую часть с учетом всех основных процессов генерации и рекомбинации носителей тока.

$$\frac{\partial f_{\lambda}}{\partial t} = -\sum_{\lambda'} \left\{ W_{\lambda\lambda'} f_{\lambda} \left( 1 - f_{\lambda'} \right) - W_{\lambda\lambda'} f_{\lambda'} \left( 1 - f_{\lambda} \right) \right\}, \quad (7)$$

где  $f_{\lambda}$  — неравновесный диагональный элемент одночастичной матрицы плотности,  $W_{\lambda\lambda'}$  — вероятность перехода между состояниями  $\lambda$  и  $\lambda'$ .

Данное уравнение описывает эволюцию диагональной части матрицы плотности, а в области локализованных состояний оно описывает баланс электронных переходов между различными состояниями. Вероятности перескоков между различными парами центров меняются случайным образом и в широком интервале. В результате изменения

заселенности состояний, наиболее легкие направления перескоков могут быть блокированными. Таким образом, уравнения (1) и (7) полностью согласуются и хорошо стыкуются на границе раздела кристаллический — аморфный кремний.

В общем виде кинетическое уравнение для нестационарного состояния всей структуры можно записать в следующем виде:

$$\begin{split} &\frac{\partial f_{\lambda}}{\partial t} + \left( \vec{v} \vec{\nabla}_{r} f_{\lambda} \right) + \frac{1}{\hbar} \left( \vec{F}_{i} \vec{\nabla}_{k} f_{\lambda} \right) = \\ = & \left( \frac{\partial f}{\partial t} \right)_{i} - \sum_{\lambda'} \left\{ W_{\lambda \lambda'} f_{\lambda} \left( 1 - f_{\lambda'} \right) - W_{\lambda \lambda'} f_{\lambda'} \left( 1 - f_{\lambda} \right) \right\}. \end{split} \tag{8}$$

Генерация носителей тока характеризуется темпом оптической генерации G. В общем случае G зависит от мощности потока излучения, энергии фотонов, вероятности фотопоглощения и глубины. При описании диффузии фотогенерированных носителей заряда можно воспользоваться законом поглощения света Ламберта:  $G = G_0 \exp(-\chi cd)$ , где  $\chi$  — удельный показатель поглощения света в a-Si:H, c — концентрация вещества, d — глубина, на которой рассчитывается поглощение.

Для интерпретации фотопроводимости используются следующие модели рекомбинации:

- 1) рекомбинация «зона хвост» происходит при захвате неравновесного носителя из свободной зоны на состояние хвоста противоположной зоны, захватившее перед этим носитель другого знака и действующее как рекомбинационный центр. Количество состояний хвоста увеличиваются по мере уменьшения температуры;
- 2) рекомбинация «хвост оборванная связь» происходит при туннелировании захваченных носителей из состояния хвостов зон на состояния оборванных связей;
- 3) рекомбинация «хвост хвост» это туннельная рекомбинация между электронами, захваченными на состояния хвоста зоны проводимости, и дырками, захваченными на состояния хвоста валентной зоны.
- В [5] показано, что в действительности нужно учитывать все возможные механизмы рекомбинации и выделять из них основной в зависимости от спектра состояний носителей, типа и концентрации дефектов, внешних условий (температура, интенсивность света и т.д.).

При описании процессов рекомбинации носителей и их захвата на соответствующие ловушки можно воспользоваться моделью, предложенной в [3, 4], дополнив ее представлениями, описанными в [10].

Плотность состояний в неупорядоченном полупроводнике при  $|E| >> \sqrt{\psi_1}$  [10]:

$$\rho(E) = \frac{\psi_1 \exp\left(-\frac{E^2}{2\psi_1}\right)}{2\pi^2 |E|^{\frac{3}{2}}} + \frac{\alpha \cdot \exp\left(-\frac{E^2}{2\psi_1}\right)}{8\sqrt{2}\pi^{\frac{3}{2}}\sqrt{\psi_1}} \left(E - \frac{\alpha|E|^{\frac{3}{2}}}{\sqrt{2\pi\psi_1}}\right), (9),$$

где  $\psi_1 = 2\pi n_t e^4 r_0 / \epsilon^2$ , E — энергия состояния,

 $\alpha^{-1} = r_0$  — характерная длина, роль которой играет радиус экранирования.

Расчеты проводятся для упрощенной модели плотности состояний в щели подвижности, состоящей из четырех дискретных уровней (рис. 1). Уровни  $E_{tp}$  и  $E_m$  с плотностью состояний  $N_{tp}$  и  $N_m$  — эффективные уровни хвоста валентной зоны и зоны проводимости соответственно. Уровни  $E_D$  и  $E_D + U$  — энергетические уровни состояний оборванных связей. Рассматриваем состояния хвостов зон в качестве мелких ловушек, находящихся в термодинамическом равновесии с ближайшей зоной, т. е. «ловушки для дырок» и «ловушки для электронов». Такое упрощенное представление плотности состояний в щели подвижности, как показано в работе [4], не приводит к качественным изменениям результатов численного расчета.

На рис. 1 показаны вероятные переходы, которые учитывались при расчетах. Как и в модели [3,4], в данной работе рассмотрены два возможных канала рекомбинации: прямой захват свободных электронов и дырок на D-центры (потоки  $U_1$ ,  $U_2$ ,  $U_5$  и  $U_6$ ) и туннельная рекомбинация между электронами, захваченными на состояния хвоста зоны проводимости, и дырками, захваченными на состояния хвоста валентной зоны ( $U_{13}$ ).

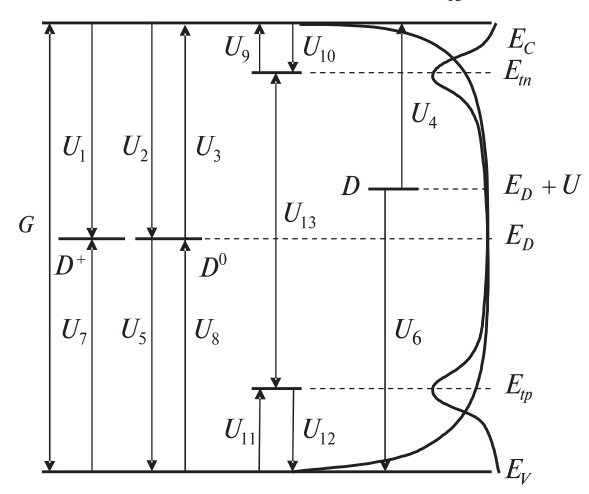


Рис. 1. Схематическое представление электронных переходов для упрощенной модели плотности состояний и вид плотности состояний в щели подвижности из (1)

Определив вероятности нахождения D-центра в состоянии  $D^+$ ,  $D^0$  и  $D^-$  как  $f^+$ ,  $f^0$  и  $f^-$  соответственно, поскольку D-центр может находиться только в трех состояниях,  $f^+ + f^0 + f^- = 1$ . Можно записать на основе формализма Шокли-Рида [10]:

$$\begin{split} U_{1} &= nN_{D}f^{+}c_{n}^{+} \;,\; U_{2} = nN_{D}f^{0}c_{n}^{0} \;,\; U_{3} = N_{D}f^{0}e_{n}^{0} \;,\\ U_{4} &= N_{D}f^{-}e_{n}^{-} \;,\; U_{5} = pN_{D}f^{0}c_{p}^{0} \;,\; U_{6} = pN_{D}f^{-}c_{p}^{-} \;,\\ U_{7} &= N_{D}f^{+}e_{p}^{+} \;,\; U_{8} = N_{D}f^{0}e_{p}^{0} \;,\; U_{9} = nN_{tn}(1-f_{tn})c_{tn} \;,\\ U_{10} &= N_{tn}f_{tn}e_{tn} \;,\; U_{11} = pN_{tp}f_{tp}c_{tp} \;,\; U_{12} = N_{tp}\left(1-f_{tp}\right)e_{tp} \;,\\ U_{13} &= N_{tp}f_{tp}N_{tn}f_{tn}T_{np} \;, \end{split} \tag{8}$$

где  $c_n^0$  и  $c_n^+$  — коэффициенты захвата электрона на  $D^0$  - и  $D^+$  -состояния;  $c_p^0$  и  $c_p^-$  — коэффициенты захвата дырок на  $D^0$  - и  $D^-$  -состояния;  $e_n^0$  ,  $e_n^-$  ,  $e_p^0$  и  $e_p^+$  — коэффициенты теплового выброса электронов из  $D^0$  - и  $D^-$  -состояний и дырок из  $D^0$  - и  $D^+$  -состояний;  $f_m$  ,  $f_{tp}$  — вероятности заполнения ловушек для электронов и дырок;  $c_m$  ,  $c_{tp}$  и  $e_m$  ,  $e_{tp}$  — коэффициенты захвата электронов и дырок на соответствующие ловушки и теплового выброса из них;  $N_D$  — концентрация D -центров;  $T_{np}$  — коэффициент туннельной рекомбинации «хвост — хвост».

Увеличение плотности электронов в зоне проводимости обусловлено оптической генерацией G и переходами  $U_3$ ,  $U_4$ ,  $U_{10}$ . Уменьшение плотности обусловлено переходами  $U_1$ ,  $U_2$  и  $U_9$ .

Определив вероятности генерации и рекомбинации носителей, входящие в правую часть кинетического уравнения, можно решить систему уравнений (8, 2). В аморфном полупроводнике поле, найденное из уравнения (2), дополняется случайной аддитивной добавкой (6). Методика решения рассмотренной выше системы уравнений подробно изложена в работах [6, 7].

### 2. РЕЗУЛЬТАТЫ ЧИСЛЕННОГО МОДЕЛИРОВАНИЯ

Расчет проводился для структуры a-Si:H — c-Si, полученной магнетронным методом. Результаты расчетов сравнивались с характеристиками экспериментальных образцов. Рабочие образцы представляли собой двухслойные структуры с омическими контактами (рис. 2). В качестве подложки использовался кристаллический кремний п-типа, на который напылялась пленка аморфного гидрогенизированного кремния р-типа.

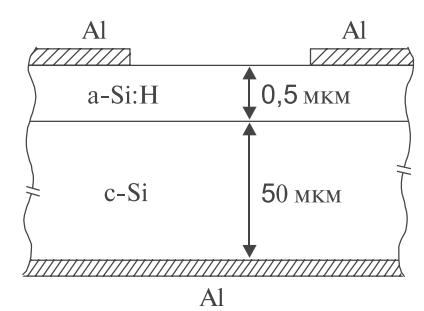


Рис. 2. Геометрия рабочих образцов

Полупроводниковые пленки a-Si:H были получены на магнетронной установке типа УРМ3.279.026, при давлении в рабочей камере  $10^{-2}$  —  $10^{-3}$  Па, при напряжении и токе мишени — 500-650В и 1,5-2A. Скорость роста составляла 0,3-0,4 мкм/мин. Сверху на пленку дополнительно наносились алюминиевые омические контакты с использованием пленочных и металлических масок.

При проведении расчетов в качестве параметров модели использовались значения величин, полученные из экспериментальных исследований [1, 2] и литературных источников [3-5, 10].

Ширина щели подвижности принималась равной 1.8 эВ. Положение уровня Ферми относительно потолка валентной зоны задавалось равным 1.05 эВ. Для параметров оборванных связей принимались следующие значения:  $E_D=0.9~M,$  U=0.3~M. Начальный темп фотогенерации принимался равным  $G_0=10^{19}~{\rm cm}^{-3}{\rm c}^{-1}$ ,  $c_n^0=c_p^0=3\cdot10^{-15}~{\rm cm}^{-2}$  и  $c_n^+=c_p^-=1.5\cdot10^{-13}~{\rm cm}^{-2}$ .

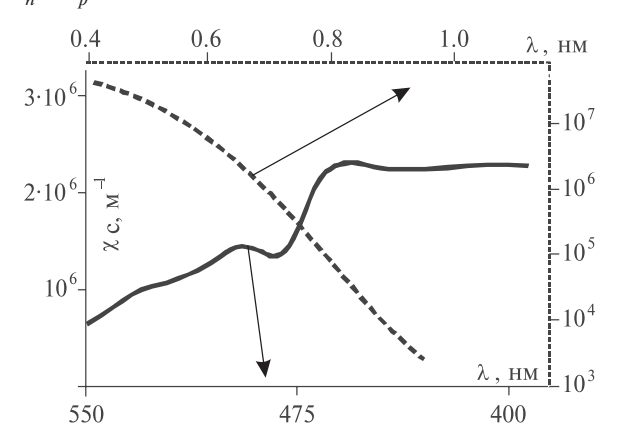


Рис. 3. Спектральные зависимости коэффициента поглощения света  $\chi c$  в a-Si:H

На основе полученной экспериментально спектральной зависимости коэффициента поглощения на частотах видимого спектра (рис. 3) рассчитывался коэффициент оптической генерации в области аморфного кремния. Затем, при решении кинетического уравнения с учетом процессов рекомбинации неравновесных носителей получены зависимости коэффициента прохождения неравновесных электронов и дырок от толщины пленки аморфного кремния для разных значений напряженности электрического поля (рис. 4).

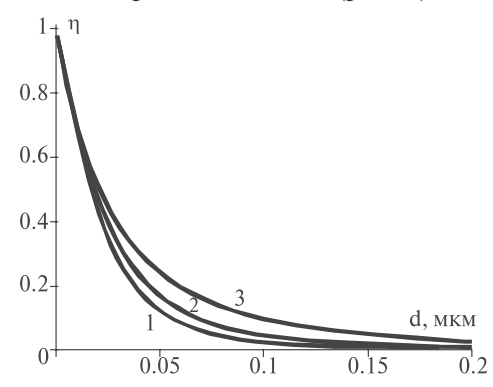


Рис. 4. Зависимости вероятности прохождения свободных носителей заряда от толщины аморфной пленки при 1) E=3 кB/см, 2) E=8 кB/см, 3) E=20 кB/cm

Расчет проводимости пленок проводился для аморфного кремния с различной степенью гидрирования в области низких напряженностей внешнего поля (до 3 кВ/см).

На рис. 5 представлены результаты численного моделирования тепловой удельной проводимости для различных значений концентрации водорода.

Полученные в результате моделирования зависимости удельной проводимости хорошо согласуются с экспериментальными данными.

Как видно из рис. 5, проводимость аморфного кремния возрастает с увеличением концентрации водорода в рабочей камере.

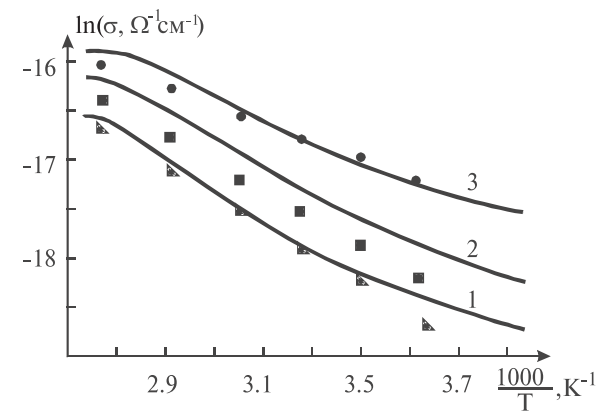


Рис. 5. Тепловая зависимость расчетной (сплошные линии) и экспериментальной (точки) удельной проводимости а-Si пленок, полученных магнетронным методом при концентрации водорода: 1-10%, 2-30%, 3-40%

Это свидетельствует о том, что в результате напыления происходит обогащение пленки аморфного кремния водородом, который компенсирует оборванные связи.

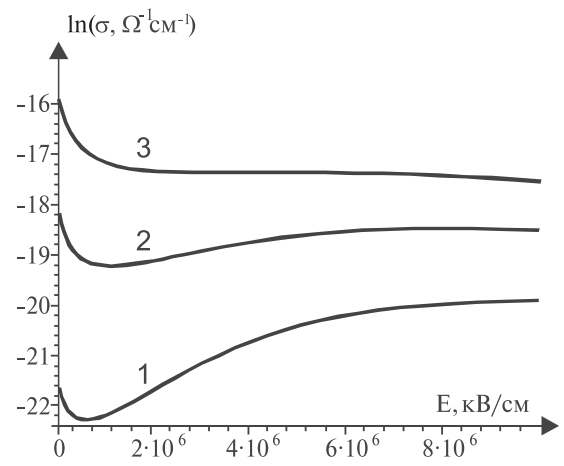


Рис. 6. Зависимость удельной проводимости от напряженности внешнего поля a-Si пленок, толщиной: 1-0.2 мкм, 2-0.1 мкм, 3-0.05 мкм

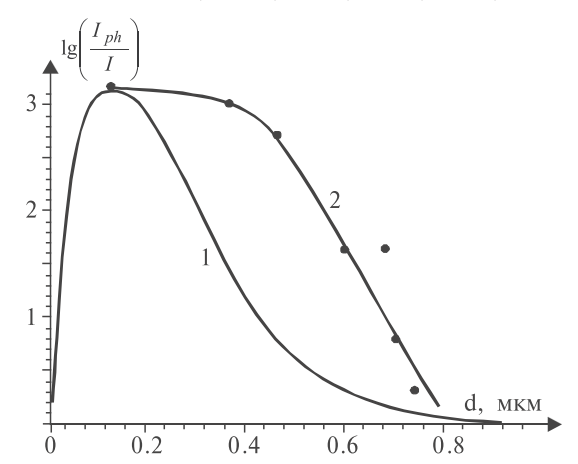


Рис. 7. Зависимости относительной величины фототока от толщины a-Si слоя в гетероструктуре, при облучении светом с длиной волны 0,47 мкм: 1 — расчетная, 2 — экспериментальная [11]

Анализ зависимости удельной проводимости от напряженности внешнего поля в пленке на a-Si показал что, во-первых, удельная проводимость зависит от толщины пленки, во-вторых, при напряжениях порядка 3-5 кВ/см характер зависимости проводимости от напряженности поля меняется. Так как с увеличением толщины увеличивается количество фотогенерированных носителей, а вероятность их собирания падает из-за рекомбинационных процессов, должна существовать такая толщина пленки, при которой эти процессы согласуются. Анализ зависимости фототока от толщины пленки аморфного кремния (рис. 7) показал наличие такой оптимальной толшины.

#### выводы

В работе предложена модель, которая адекватно описывает процессы фотогенерации и переноса носителей в структуре a-Si:H/c-Si. В результате проведенных исследований получены зависимости проводимости подобных структур от параметров аморфного кремния. Показано наличие зависимости характеристик фотопроводимости таких структур от толщины пленки аморфного кремния.

- [1] *M.A.Bykov, A.S. Mazinov* Optical spectral characteristics of thin-film constructions on the basis of hydrogenated amorphous silicon // Proc. of SPIE Vol. 6023. P.60230Q1-60320Q9.
- [2] Быков М.А. Исследование влияния концентрации водорода на свойства пленок аморфного гидрогенизированного кремния полученных магнетронным методом // Восточно-европейский журнал передовых технологий. 2006. 4/3(22). С. 36—38.
- [3] *Кузнецов С.В., Теруков Е.И.* Влияние хвостов зон a-Si: Н на заполнение оборванных связей и величину фотопроводимости // ФТП. 2001. Т. 35, вып. 6. С. 684—686.
- [4] *Кузнецов С.В.* Эффект Стеблера-Вронского и температурные зависимости фотопроводимости а-Si:H ртипа // ФТП. 2000. Т.34, вып.6. С. 748-752. 5
- [5] Кузнецов С.В. Численный расчет температурных зависимостей фотопроводимости а-Si:H р-типа //  $\Phi$ TП. 2001. Т. 35, вып. 10. С. 1244—1249.
- [6] Зуев С.А., Старостенко В.В., Терещенко В.Ю., Чурюмов Г.И., Шадрин А.А. Модель ПТШ субмикронных размеров на кремнии. Ч.1 // Радиоэлектроника и информатика. Харьков. 2004. №3. С. 47—53.
- [7] Гордиенко Ю.Е., Зуев С.А., Старостенко В.В., Терещенко В.Ю., Шадрин А.А. Особенности лавинного пробоя в кремниевых ПТШ по результатам численного моделирования // Радиотехника. Всеукр. межвед. научн.-техн. сб. 2006. Вып.121. С. 146—152.
- [8] *Хокни Р., Иствуд Д*. Численное моделирование методом частиц. М.: Мир, 1987. 638 с.
- [9] Kurosawa T. Monte Carlo calculation of hot electron problems // Proc. 8th Int. Conf. Phys. Semicond., Kyoto (Japan).
  1966. P.1-10a-6.

- [10] Бонч-Бруевич В.Л., Звягин И.П., Кайпер Р., Миронов А.Г., Эндерлайн Р., Эсер Б. Электронная теория неупорядоченных полупроводников. М.: Наука, 1981. 384 с.
- [11] *Hamakawa Y., Tawada Y.*, Int. J. Sol. Energy, 1, 125 (1982)

Поступила в редколлегию 26.02.2008



**Быков Михаил Александрович**, младший научный сотрудник кафедры микроэлектроники, электронных приборов и устройств ХНУРЭ. Область научных интересов: аморфные тонкопленочные фотопреобразователи.



**Быков Александр Михайлович,** кандидат физико-математических наук, доцент кафедры общей физики ТНУ. Область научных интересов: волоконная оптика, квантовая электроника.



Зуев Сергей Александрович, ассистент кафедры радиофизики ТНУ. Область научных интересов: моделирование физических процессов в полупроводниковых приборах.



**Мазинов Алим Сейт-Аметович,** кандидат технических наук, доцент кафедры радиофизики и электроники ТНУ. Область научных интересов: тонкопленочные структуры, наноразмерная электроника.



Слипченко Николай Иванович, кандидат технических наук, профессор, проректор по научной работе ХНУРЭ, профессор кафедры микроэлектроники, электронных приборов и устройств ХНУРЭ. Область научных интересов: твердотельная электроника, моделирование процессов, нанофизика и наноэлектроника, зондирование атмосферы.



Унжаков Дмитрий Александрович, аспирант кафедры радиофизики ТНУ. Область научных интересов: моделирование полупроводниковых приборов микронных и субмикронных размеров.